

# اثر وزن مولکولی پلی وینیل استات بر جمع شدگی حجمی رزین پلی استر سیرنشده

**Effect of Molecular Weight of Polyvinyl Acetate on Volume Shrinkage of an Unsaturated Polyester Resin**

سید مرتضی مظفری، محمد حسین بهشتی\*، مهدی وفایان

تهران، پژوهشگاه پلیمر و پتروشیمی ایران، پژوهشکده فرایند، گروه کامپوزیت و چسب، صندوق پستی ۱۴۹۶۵/۱۱۵

دریافت: ۸۴/۹/۳۰، پذیرش: ۸۴/۱۷/۱۸

## چکیده

ترکیبات کاهنده جمع شدگی به ویژه انواع گرمانتر آنها به آمیخته های رزین پلی استر سیر نشده افزوده می شوند تا مانع از کاهش حجم رزین پس از پخت شوند. در این پژوهش، اثر دو نوع پلی وینیل استات با وزنهای مولکولی متفاوت ( $10^3 \times 10^3$  g/mol) روی مقدار جمع شدگی و سرعت تغییر حجم در طول واکنش پخت محیطی رزین پلی استر سیر نشده به روش اندازه گیری جمع شدگی و همچنین سیستمیک واکنش پخت با استفاده از متحیتهای دما - زمان بررسی شد. شکل شناسی نمونه های پخت شده با پلی وینیل استات با وزنهای مولکولی مختلف به عنوان افزودنی کاهنده جمع شدگی نشان می دهد که تشکیل ساختار دو فازی به هم پیوسته شاخه ای به کنترل جمع شدگی مطلوبتری می انجامد. بررسی نتایج جمع شدگی حجمی رزین پلی استر سیر نشده هنگام استفاده از پلی وینیل استات نشان می دهد که با افزایش وزن مولکولی پلی وینیل استات، زمان شروع جمع شدگی رزین پلی استر سیر نشده افزایش و مقدار جمع شدگی نهایی آن کاهش می یابد.

## واژه های کلیدی

افزودنی کاهنده جمع شدگی، وزن مولکولی، پلی وینیل استات، رزین پلی استر سیر نشده، جدایی فاز

## مقدمه

(VARTM)، پولتربون، رشته پیچی و فرایندهای دستی است [۱-۴].

واکنش پخت رزینهای پلی استر سیر نشده که شامل کوپلیمر شدن رادیکال آزاد است، منجر به اتصال واحدهای پلی استر سیر نشده مجاور به یکدیگر می شود (با اتصال مونومرهای استیرن

رزینهای پلی استر سیر نشده به عنوان زمینه در کامپوزیتهاهای پلیمری کاربردهای گسترده ای دارند، این امر ناشی از ارزانی و توازن خوب میان خواص و قابلیت ساخت آنها به کمک فرایندهای متعددی چون قالبگیری انتقالی رزین (RTM)، قالبگیری انتقالی رزین به کمک خلا

## Key Words

low-profile additive (LPAs), molecular weight, polyvinyl acetate, unsaturated polyester resin, phase separation

از گرمانتر که خود متاثر از  $T_g$  و مدول پلیمر گرمانتر بکار رفته است، اثر بسزایی روی مقدار جمع شدگی دارد. نتایج پژوهش‌های انجام شده در این زمینه نشان می‌دهد که مدول فاز گرمانتر باید در حد بهینه باشد [۱۰]. مطابق نتایج مطالعات انجام شده روی رزین پلی استر سیرنشده عاری از فتالیک اسید، کارایی پلی وینیل استات در کنترل جمع شدگی این رزینها مطلوب است [۱۰]. در این مقاله، اثر PVAc با وزنهای مولکولی مختلف به عنوان افزودنی کاهنده جمع شدگی روی شکل شناسی و مقدار جمع شدگی رزین پلی استر سیرنشده ارتوفتالیک و چگونگی تغییر جمع شدگی و سرعت واکنش پخت آن با زمان بررسی شده است.

## تجربی

### مواد

در این کار پژوهشی، از رزین پلی استر سیرنشده ارتوفتالیک محصول شرکت صنعتی بوشهر با نام تجاری Bushepol ۸۷۱۵، محلول متیل اتیل کتون پروکسید (MEKP) به عنوان آغازگر محصول شرکت پاموکاله، محلول کبالت نفتنتات با کد چکاد ۱۰۰۰ محصول شرکت چکاد به عنوان شتاب‌دهنده دمای محیط و پلی وینیل استات با وزنهای مولکولی متفاوت ساخت شرکت واکر آلمان با نامهای تجاری B100 ( $M_w = 100 \times 10^3$  g/mol) و UW4 ( $M_w = 290 \times 10^3$  g/mol) به عنوان مواد کاهنده جمع شدگی استفاده شد.

همه نمونه‌ها حاوی کبالت نفتنتات به مقدار Phr ۰/۲، پروکسید (MEKP) به مقدار ۱ Phr و مقادیر مختلفی از محلول ۴۰ درصد پلی وینیل استات در استیرن بودند. در تمام فرمولیندیها نسبت مولی پیوند دوگانه کربن - کربن در استیرن به پیوند دوگانه کربن - کربن در پلی استر (MR) ثابت و برابر ۲/۵ است (این نسبت با افزودن مونومر استیرن تنظیم شد). پخت رزین در دمای  $230^\circ\text{C}$  انجام شد.

### دستگاهها

طیف NMR در ظروف استوانه‌ای ۵ mm و حلال کلروفرم دوتیریم دار شده ( $\text{CDCl}_3$ ) با طیف سنج رزونانس مغناطیسی هسته  $^{400}\text{MHz}$  مدل Avance Bruker ساخت آلمان بدست آمد.

برای بررسی شکل شناسی قطعات، ابتدا نمونه‌ها درون نیتروژن مایع شکسته شدند. پیش از مشاهده، سطوح شکست با لایه نازکی از طلا به ضخامت کمتر از  $100 \mu\text{m}$  به کمک دستگاه Auto Putter Coater در مدت ۲ min پوشش داده شدند. سپس، با میکروسکوپ الکترون پویشی Cambridge S مدل ۳۶۰ ساخت انگلستان با ولتاژ  $20\text{ kV}$  ریزنگار

طی واکنشهای درون و بین مولکولی). حاصل چنین واکنشهای تشکیل اتصالات عرضی متعدد و کاهش حجم رزین خواهد بود. مقدار جمع شدگی در رزینهای پلی استر سیرنشده حدود ۷ تا ۱۰ درصد حجمی است. بزرگترین مشکل در تهیه قطعات کامپوزیتی پلی استری ناشی از جمع شدگی، ایجاد ترکهای ریز و فرو رفتگیها روی سطح قطعه، عدم کنترل ابعادی و کج شدن قطعه در قالب است [۶، ۲۵].

برای کاهش مقدار جمع شدگی و بیرونی بردن به چگونگی ساز و کار آن کارهای پژوهشی زیادی انجام شده است [۹، ۷-۴]. پلیمرهای گرمانتر از جمله موادی هستند که به عنوان افزودنی کاهنده جمع شدگی (low-profile additive, LPA) در این زمینه انجام شده است [۹-۱]. پلی استیرن (PS)، پلی متیل متاکریلات (PMMA) و انواع اصلاح شده آن، پلی وینیل استات (PVAc) و انواع اصلاح شده آن و پلی کاپرو لاکتون از متداولترین پلیمرهای گرمانتر بکار رفته‌اند که از بین آنها PVAc به دلیل خاصی کارایی ویژه‌ای دارند. رزین پلی استر سیرنشده قبل از پخت، گشتاور دو قطبی در حدود ۲/۵ دارد. اما، پس از پخت به علت واکنش دادن پیوندهای دوگانه کربن - کربن، گشتاور دوقطبی آن به کمتر از ۱ کاهش می‌یابد. تغییر قطبیت، عامل اصلی جداساند به دو فاز غنی از گرمانتر و فاز غنی از پلی استر سیرنشده (UP, unsaturated polyester) و در نتیجه ایجاد حفره در سطح مشترک دو فاز یا در فاز غنی از پلیمر گرمانتر و در نهایت جبران جمع شدگی است [۸].

ساز و کار جمع شدگی و اثرگذاری مواد کاهنده جمع شدگی برای جبران جمع شدگی، وابستگی زیادی به دما دارد. به طوری که پژوهشها در این زمینه را می‌توان به دو گروه دمای زیاد و دمای کم (دمای محیط) دسته بندی کرد. با افزایش دما، فاز گرمانتر منبسط شده، جمع شدگی را جبران می‌کند. مسلماً هرچه ضریب انبساط گرمایی فاز گرمانتر، بیشتر باشد اثر آن در کنترل مقدار جمع شدگی نیز بیشتر خواهد بود. نتایج کار پژوهشی [۱۰] انجام شده روی رزین پلی استر سیرنشده عاری از فتالیک اسیدها نشان می‌دهد که با کاهش وزن مولکولی فاز گرمانتر ضریب انبساط گرمایی افزایش می‌یابد. با افزایش غلظت ماده کاهنده جمع شدگی، مقدار فاز گرمانتر در سامانه دو فازی افزوده شده، در نتیجه اثر انبساط گرمایی فاز گرمانتر روی سامانه بیشتر خواهد شد.

در پخت با دمای کم، ساز و کار اصلی کنترل جمع شدگی کی ایجاد تنش حاصل از جمع شدگی فاز پلی استر سیرنشده حین وارونگی فاز و تشکیل حفره در بین سطوح دو فاز و در ادامه تشکیل حفره در فاز ضعیف LPA است. مطابق این ساز و کار با افزایش سرعت وارونگی یا به عبارت دیگر کاهش غلظت LPA و افزایش وزن مولکولی آن مقدار جمع شدگی کمتر خواهد شد. مطالعات نشان می‌دهد که مدول فاز غنی

$$C_p \frac{dT_{ad}}{dt} = (-\Delta H) r \quad (3)$$

از معادله های (۱) و (۳) معادله (۴) نتیجه می شود:

$$\frac{dT_{ad}}{dt} = \frac{dT_{exp}}{dt} + U' (T_{exp} - T_0) \quad (4)$$

و با انتگرال گیری در بازه زمانی  $t$  تا  $t_0$  معادله (۵) بدست می آید:

$$T_{ad} = T_{exp} + \int_{t_0}^t U' (T_{exp} - T_0) dt \quad (5)$$

برای ارائه مدل سینتیکی معادله توانی زیر پیشنهاد شد:

$$r = [P]_\infty dx / dt = [P]_\infty A (1-x)^n \exp(-E / RT) \quad (6)$$

در این معادله  $x$  مقدار تبدیل،  $[P]$  تعداد اتصالات در واحد جرم در تبدیل کامل و  $T = T_{ad}$  است. از معادله (۳) و (۶) با ثابت در نظر گرفتن  $\Delta H$ - و  $C_p$  معادلات زیر نتیجه می شود:

$$\Delta T_{ad} = (-\Delta H) [P]_\infty / C_p \quad (7)$$

$$x = (T - T_0) / \Delta T_{ad} \quad (8)$$

معادله (۳) به شکل زیر انتگرال گیری می شود:

$$Y = \ln \left\{ \frac{dT / dt}{\Delta T_{ad} [1 - (T - T_0) / \Delta T_{ad}]^n} \right\} = \ln A - (E / RT) \quad (9)$$

مقدار  $E$  (انرژی فعالسازی) و  $A$  (ثابت پیش توانی) از شیب و عرض از مبدأ بهترین خطی که با تغییر  $n$  از نقاط  $Y$  بر حسب  $T$  می گذرد حاصل می شود.

با توجه به معادله درجه یک سرعت واکنش با غلظت اولیه شروع کننده، سرعت واکنش به کمک معادله (۱۰) قابل محاسبه است:

$$dx / dt = k'[I] (1-x)^n \exp(-E / RT) \quad (10)$$

که در این معادله  $[I]$  غلظت اولیه شروع کننده است [۱۲]. با توجه به معادلات (۱) تا (۱۰) و داده های تجربی دما - زمان می توان ثابت های سرعت را برای پلیمر شدن همدمان بدون استفاده از تجهیزات

(SEM) نمونه ها تهیه شد.

دستگاه اندازه گیری جمع شدگی شامل مبدل تفاضلی متغیر خطی (linear variable differential transformer, LVDT) با قابلیت اندازه گیری تغییر ضخامت با دقیقیت یک میکرون برای اندازه گیری تغییر حجم نمونه ها با زمان بکار گرفته شد. جایه جایی حسگر LVDT منجر به ایجاد جریان الکتریکی می شود که با آماده سازی (conditioner) آماده پردازش در ریانه می شود. این دستگاه با توجه به روش ارائه شده در مراجع [۱۱] در پژوهشگاه پلیمر و پتروشیمی ایران طراحی و ساخته شد.

## روشها

### سینتیک جمع شدگی

برای بررسی سینتیک پخت رزین مورد نظر با توجه به گرمای زمان (adiabatic) واکنش های پخت آن، از منحنی دما - زمان در شرایط بی دررو و انطباق آن با معادلات نظری استفاده شد [۱۲].

برای ارزیابی تغییر دما بر حسب زمان مقدار  $g$  رزین همراه با  $0.2 \text{ Phr}$  کبالت نفتنت و  $1 \text{ Phr}$  پروکسید داخل لیوان کاغذی ریخته، سپس لیوان داخل محفظه یونولیت قرار داده شد. با گذاشتن دما سنج عددی در وسط رزین منحنی دما - زمان بدست آمد.

از طرفی معادله انرژی بر واحد جرم برای سامانه شامل واکنش شیمیایی به شکل زیر نوشته می شود:

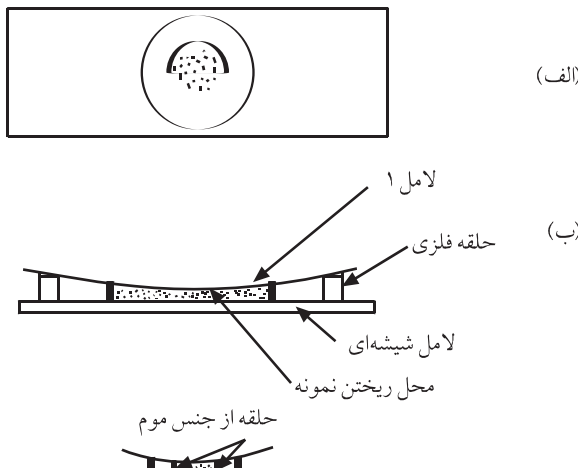
$$C_p \frac{dT_{exp}}{dt} = (-\Delta H)r - U(T_{exp} - T_0) \quad (11)$$

در این معادله  $C_p$  گرمای ویژه ( $J/g.^{\circ}\text{C}$ ),  $-\Delta H$ - گرمای واکنش ( $\text{mole}/\text{min.g}$ ) به ازای هر مول اتصال عرضی تشکیل شده،  $r$  سرعت واکنش ( $\text{mole}/\text{min.g}$ ) تشکیل اتصالات عرضی بر واحد جرم و زمان،  $U$  ضریب انتقال گرمای کلی بر واحد جرم ( $J/\text{g.min.^{\circ}\text{C}}$ ) و  $T_0$  دمای محیط ( $^{\circ}\text{C}$ ) است. در زمانی معین ( $t_1$ ) متناسب با دمای ثابت شده در آزمون ( $T_{exp}$ ) واکنش کامل می شود، از این رو  $t_1 = t$  خواهد شد. با انتگرال گیری از معادله (۱) بین بازه زمانی  $t_1$  تا  $t_2$  و با فرض ثابت بودن  $C_p$  معادله (۱۱) نتیجه می شود:

$$\ln(T_{exp} - T_0) = -U' (t_2 - t_1) + \ln(T_{exp} - T_0) \quad (12)$$

در این معادله  $U' = U/C_p$  است. با رسم منحنی  $\ln(T_{exp} - T_0)$  بر حسب  $t$  برای زمانهای بعد از دمای بیشینه ( $t > t_1$ ), خطی با شیب ثابت بدست می آید که  $U'$  شیب آن خط است.

از طرف دیگر اگر به محیط اطراف گرمای داده نشود (بی دررو کامل) معادله (۱) را به شکل معادله (۱۳) می توان نوشت:



شکل ۲ نحوه نصب نمونه قرصی شکل روی سطح شیشه‌ای در وسط حلقه فلزی (برنجی): (الف) نمای طرح از بالا و (ب) نمای طرح از پهلو [۱۱].

توجه به قطر حلقه موم و مدرج کردن دستگاه حسگر (LVDT) مقدار تغییر حجم بر حسب زمان اندازه‌گیری می‌شود. همچنین، به وسیله داده‌های حاصل از این دستگاه می‌توان سرعت جمع شدگی رزین را در زمانهای مختلف بدست آورد.

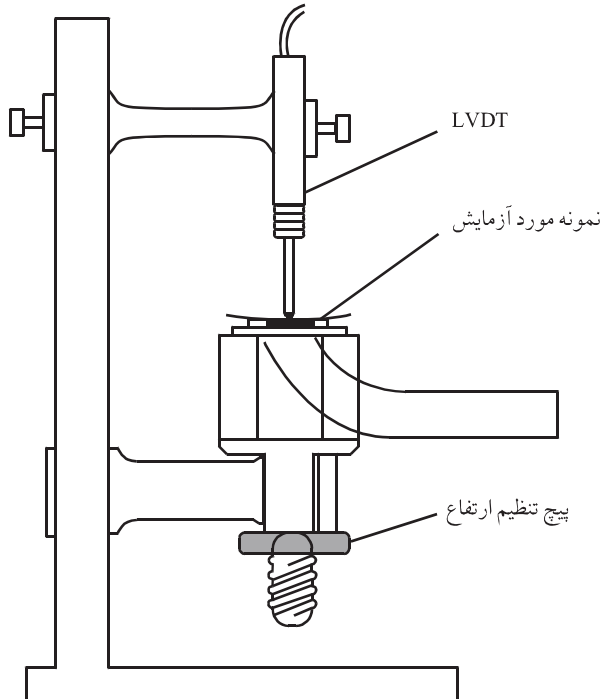
## نتایج و بحث

در شکل ۳ طیف MR<sup>1</sup> رزین پلی استر سیرنشده نشان داده شده است. برای اندازه‌گیری نسبت مولی پیوندهای دوگانه کربن - کربن استیرن به پیوندهای دوگانه کربن - کربن پلی استر سیرنشده (MR) ابتدا به وسیله طیف NMR<sup>1</sup> و مساحت سطح زیر پیک، نسبت مولی اجزای تشکیل دهنده مشخص شد، با ضرب این اعداد در وزن مولکولی هر جزء، وزن مولکولی به ازای یک پیوند سیرنشده پلی استر بدست آمد. سپس، با تقسیم متوسط عددی وزن مولکولی پلی استر سیرنشده بر این عدد می‌توان متوسط تعداد پیوندهای دوگانه کربن - کربن را در هر زنجیر پلی استر بدست آورد.

با استفاده از معادله (۱۱) می‌توان MR را محاسبه کرد:

$$MR = \frac{W_{St} / M_{St}}{\frac{W_{UP}}{M_{nUP} / NU}} \quad (11)$$

در این معادله  $W_{St}$  جزء وزنی استیرن،  $W_{UP}$  جزء وزنی پلی استر



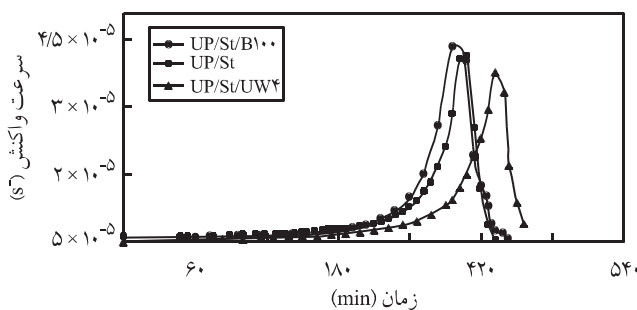
شکل ۱ نمایی از دستگاه اندازه‌گیری جمع شدگی دینامیکی [۱۱].

گرانقیمت نظری DSC بدست آورد. این روش اغلب برای واکنشهای بسیار سریع یا با سرعت متوسط از دقت کافی برخوردار است، چرا که در این حالت امکان وقوع شرایطی بی‌dro کامل وجود خواهد داشت.

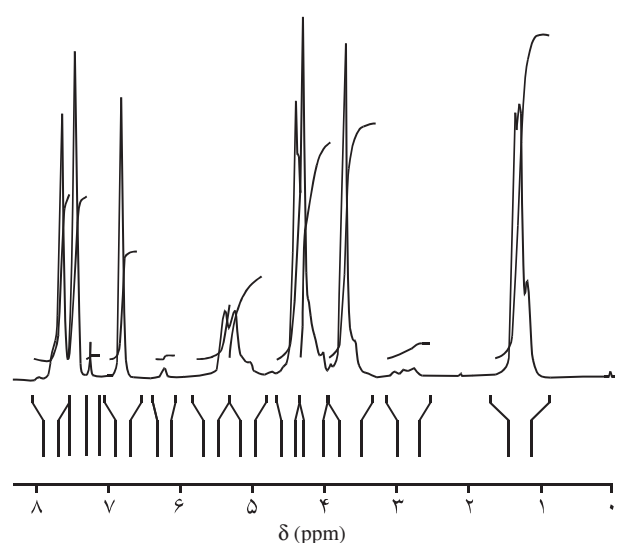
## دینامیک جمع شدگی

برای بررسی دینامیک جمع شدگی از دستگاه نشان داده شده در شکل ۱ استفاده شد. در این دستگاه از حلقه‌ای فلزی به ضخامت ۱ mm و قطر ۱۶ mm استفاده شد که وسط لامل شیشه‌ای از قبل تمیز شده چسبانده شده است. در ادامه مومی به قطر ۱ mm به شکل حلقه‌ای به قطر ۸ mm درآمده در وسط حلقه فلزی قرار داده شد، سپس رزین داخل فضای موم ریخته شد (شکل ۲) [۱۱]. در این مرحله باید دقت شود که رزین به بیرون حلقه ریخته نشود. زیرا، با جمع شدن رزین حین پخت، لاملی که روی آن است پایین می‌آید و اگر رزین خارج از این حلقه خمیری باشد با چسبیدن به لامل منع قوس برداشتن آن می‌شود و داده‌ها باخطا همراه خواهند بود.

در این روش باید دقت کامل کرد تا از تشکیل حباب هوا در رزین جلوگیری شود. در ادامه لاملی به ابعاد  $22 \times 22 \text{ mm}^2$  و ضخامت  $100 \mu\text{m}$  (شماره ۱) را روی حلقه خمیری قرار داده، حسگر LVDT با توجه به شکل ۱ روی لامل نصب می‌شود و تغییر ضخامت بر حسب زمان به وسیله رایانه ثبت می‌شود. سپس، با در نظر گرفتن ضریب  $113/8$ - (با



شکل ۴ منحنی مقایسه‌ای سرعت واکنش بر حسب زمان آمیخته UP/St و آمیخته St در Phr<sup>۸</sup> پلی وینیل استات با وزنهای مولکولی متوسط وزنی  $10^3 \times 100$  و  $10^3 \times 290$  [B100] و [UW4] [حاوی  $\frac{1}{2}$  Phr کبالت نفتنتات و ۱ Phr MEKP (پخت در دمای محیط)].



شکل ۳ طیف  $^1\text{H}$  NMR رزین پلی استر سیر نشده ارتو.

در شرایط بی دررو رسم کرد.  
با استفاده از معادله (۹) و رسم مقادیر  $Y$  بر حسب دما، بهترین ضریب تصحیح با تغییر  $n$  برای هر نمونه بدست می‌آید. با محاسبه شبیه و عرض از مبدأ این خط با بهترین ضریب تصحیح، مقادیر E/R و Ln A/E/R و ثابت محاسبه می‌شوند. به این ترتیب می‌توان انرژی فعالسازی (E) و آورده شده شوند (A) (A) را بدست آورد که نتیجه این محاسبات در جدول ۳ آورده شده است.

با استفاده از پارامترهای سینتیکی  $n$  E و A بدست آمده (جدول ۳) و جاگذاری آنها در معادله (۱۰) منحنیهای سرعت واکنش بر حسب زمان برای رزین پلی استر خالص و رزین پلی استر حاوی Phr<sup>۸</sup> پلی وینیل استات با وزنهای مولکولی متفاوت رسم شد که نتایج آن در شکل ۴ نشان داده شده است.

شکل‌های ۵ و ۶ منحنیهای مقایسه‌ای هستند که اثر وزن مولکولی پلی وینیل استات را به ترتیب روی مقدار تغییر حجم و سرعت تغییر

سیر نشده،  $M_{St}$  وزن مولکولی استیرن،  $\bar{M}_{nUp}$  متوسط عددی وزن مولکولی پلی استر سیر نشده و NU متوسط تعداد پیوندهای دوگانه کربن - کربن (C=C) در هر زنجیر پلی استر سیر نشده است.

با توجه به پیکهای ظاهر شده در شکل ۳ و تطبیق آنها با مراجع [۱۳، ۱۴] مساحت سطح زیر پیک مربوط به هیدروژنهای هر ساختار مولکولی در جدول ۱ و نسبت اجزای سازنده رزین در جدول ۲ آورده شده است. با توجه به داده‌های جداول ۱ و ۲ وزن مولکولی به ازای یک پیوند سیر نشده ( $\bar{M}_{nUp}/NU$ ) برابر  $463/3$  بدست آمد.

بارسم منحنی  $t = \ln(T_{exp} - T_0)$  بر حسب  $t$  برای بعد از زمان حداقل دما (قله بیشینه) و با توجه به معادله (۲) می‌توان  $U' = U/C_p$  (نسبت ضریب انتقال گرمای کلی بر واحد جرم به گرمای ویژه) را از روی شبیه خط بدست آورد. سپس، با استفاده از معادله (۵) منحنی دما بر حسب زمان را

جدول ۱ داده‌های بدست آمده از طیف  $^1\text{H}$  NMR رزین پلی استر سیر نشده ارتو.

تعداد هیدروژن	مساحت سطح زیر پیک	$\delta$ (ppm)	اجزای تشکیل دهنده
۴	۰/۲۱۰۸	۷/۴۹-۷/۷۸	ارتوفتالیک اسید
۲	۰/۰۰۲۰	۶/۲	مالئیک اسید
۲	۰/۰۶۸۱	۶/۸	فوماریک اسید
۳	۰/۰۱۰۳	۷/۰۹۵-۲/۲۸ (CH <sub>۳</sub> )	پروپیلن گلیگول (PG)
۲	۰/۱۲۱۸	۴/۲-۴/۸ (CH <sub>۲</sub> )	
۱	۰/۰۸۶۸	۵/۱۹-۵/۷ (CH)	
۴	۰/۱۵۰۴	۳/۵۷-۳/۹۵ (CH <sub>۲</sub> ) <sup>a</sup>	دی اتیلن گلیگول (DEG)
۴	۰/۱۳۷۶	۴/۱-۴/۴ (CH <sub>۲</sub> ) <sup>b</sup>	

## جدول ۲ نسبت اجزای سازنده رزین پلی استر سیرنشده ارتو.

اجزای سازنده	ارتوفتالیک	مالئیک و فوماریک اسید	پروپیلن گلیکول (PG)	دی اتیلن گلیکول (DEG)
سطح زیر پیک	۰/۲۱۰۸	۰/۰۷۰۱	۰/۲۱۸۹	۰/۲۸۸
تعادل هیدروژن	۴	۲	۶	۸
سطح زیر پیک برای یک هیدروژن	۰/۰۵۲۷	۰/۰۳۵۰۵	۰/۰۳۶۵	۰/۰۳۶
نسبت مولی به ازای یک پیوند دوگانه	۱/۵۰۳۶	۱/۰۰۰	۱/۰۴۱۴	۱/۰۲۷۱
وزن مولکولی	۱۳۲	۸۲	۷۴	۱۰۴

در ترکیب درصد مشخصی از اجزا، مخلوط رزین به نقطه ژل می‌رسد، در این مرحله دو فاز غنی از LPA و غنی از UP حاصل می‌شود. با به تعادل رسیدن مقدار استیرن در دو فاز، ادامه واکنش پخت در فاز LPA انجام می‌شود.

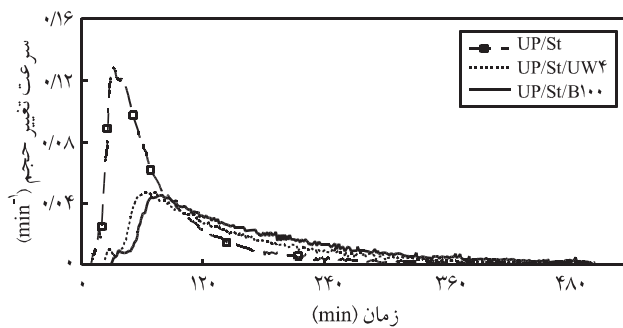
با حاصل شدن دو فاز، ادامه واکنش در فاز غنی از LPA تحت اثر پدیده نفوذ قرار می‌گیرد، سرعت واکنش و در نتیجه سرعت جمع شدگی نیز کاهش می‌یابد. به طوری که هنگام استفاده از پلی وینیل استاتات با وزن مولکولی بیشتر، نفوذ استیرن مشکل‌تر انجام می‌شود، در نتیجه سرعت واکنش پخت بیشتر کاهش می‌یابد (شکل ۴). از طرفی با توجه به پژوهش‌های انجام شده [۱۶، ۱۷] در مراحل ابتدایی، کopolymer شدن پلی استر-استیرن بر هموپلیمر شدن استیرن-استیرن غالب است، در نتیجه جمع شدگی به سرعت افزایش می‌یابد. اما، در درصد تبدیل بیشتر، واکنش هموپلیمر شدن استیرن غالب می‌شود و سرعت جمع شدگی رزین کاهش می‌یابد (شکل ۶)، چون مولکولهای پلی استر در درصد تبدیل زیاد، کم تحرک تر می‌شوند. در نمودار فازی آنها محل مسیر کopolymer شدن، بین خط پلیمر شدن یک به دو (alternating line) و خط آزنوتروپ است و بتدریج به طرف خط آزنوتروپ میل می‌کند. با توجه به شکلهای ۵ و ۶ مشاهده می‌شود که مقدار جمع شدگی رزین و سرعت آن هنگام استفاده از پلی وینیل استاتات با وزن مولکولی کمتر (B1۰۰) است، در حالی که سرعت واکنش پخت برای این نمونه بیشتر است (شکل ۴) که به احتمال زیاد این امر نیز از نفوذ

حجم رزین پلی استر سیر نشده ارتو پخت شده در دمای محیط نشان می‌دهند. با افزودن پلی وینیل استاتات به مقدار ۸ Phr جمع شدگی از ۸۵ درصد برای رزین خالص تا مقدار ۶/۶ و ۵/۹ درصد به ترتیب برای PVAc با وزنهای مولکولی متوسط وزنی  $۲۹۰ \times 10^3$  g/mol و  $۱۰۰ \times 10^3$  g/mol کاهش می‌یابد. با توجه به شکلهای ۵ و ۶ با کاهش وزن مولکولی PVAc زمان شروع جمع شدگی کاهش می‌یابد، ولی روند کلی تغییر حجم در دو وزن مولکولی یکسان باقی می‌ماند و احتمالاً نشان دهنده آن است که با افزایش وزن مولکولی گره خورده‌گی افزایش می‌یابد، از آنجا که واکنش پخت از واکنش بین رادیکال آزاد حاصل از پروکسید و واکنش آن با پیوند C=C استیرن (یا پلی استر سیر نشده) و تشکیل رادیکال آزاد روی مولکول استیرن (یا پلی استر سیر نشده) و در ادامه واکنش این رادیکال با پیوند C=C پلی استر سیر نشده (یا استیرن) حاصل می‌شود. در حالت استفاده از پلی وینیل استاتات با وزن مولکولی بیشتر آمیخته غلیظتر و گرانوترو خواهد بود، در نتیجه واکنش تحت پدیده نفوذ قرار گرفته، سرعت پخت کندتر خواهد شد. این پدیده در سینتیک پخت (شکل ۵) نیز مشاهده می‌شود، به طوری که با افزایش وزن مولکولی PVAc زمان شروع فرایند پخت افزایش می‌یابد.

برای آمیخته‌های واکنش پذیر مثل UP-استیرن-گرمانرمهای جدایی فاز القا شده با واکنش تدریجی رخ داده، به طبع آن نمودار فازی نیز به طور پیوسته تغییر می‌کند که این موضوع، تحلیل ترمودینامیکی را با مشکل روبرو خواهد ساخت. به وسیله نمودار فازی نشان داده شده [۱۵]

جدول ۳ مقادیر سینتیکی آمیخته UP/ST و آمیخته UP/ST در Phr ۸ پلی وینیل استاتات با وزنهای مولکولی متوسط وزنی  $۱۰۰ \times 10^3$  (B1۰۰) و  $۲۹۰ \times 10^3$  g/mol (UW۴) [حاوی ۰/۲ Phr MEKP (پخت در دمای محیط)].

فرمولیندی	n	ln [A] (min <sup>-1</sup> )	E/R (K)	A (min <sup>-1</sup> )	E (kcal/mole)	ضریب تصحیح
UP/ST	۷۳	۱۲/۹۶۹	۵/۲۷۹ $\times 10^3$	$۴۵/۲۸۹ \times 10^5$	۹/۴۹۷	۰/۹۷۹
UP/ST/B1۰۰	۷۹	۱۷/۸۳۸	۶/۷۷۴ $\times 10^3$	$۵/۵۸۴ \times 10^7$	۱۲/۱۸۶	۰/۹۸۲
UP/ST/UW۴	۷۶	۱۵/۲۷۸	۵/۹۵۰ $\times 10^3$	$۴/۳۱۷ \times 10^6$	۱۰/۷۰۵	۰/۹۸۷

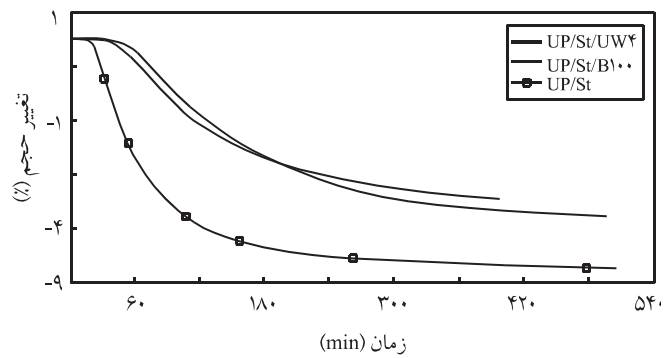


شکل ۶ منحنی مقایسه‌ای سرعت تغییر حجم بر حسب زمان آمیخته UP/St و آمیخته UP/St در Phr ۸ پلی وینیل استات با وزنهای مولکولی متوسط وزنی برابر  $100 \times 10^3$  g/mol (B100) و  $290 \times 10^3$  g/mol (UW4) [حاوی ۰/۲ Phr کبالت نفتنتات و ۱ Phr MEKP (پخت در دمای محیط)].

اسپینودالی (SD) شکل می‌گیرد. افزایش پلیمرشدن باعث تغییر جزء حجمی دو فاز در مرحله زبرشدن می‌شود. وقتی جزء حجمی فاز غنی از LPA کم است (کمتر از مقدار  $\phi_{C1}$ ) فاز غنی از LPA به شکل پراکنده خواهد بود. افزایش بیشتر فاز غنی از UP به دلیل انجام واکنش پلیمرشدن اثر این فاز را بیشتر نشان می‌دهد و فاز غنی از LPA به شکل فاز پراکنده باقی خواهد ماند. رشد بیشتر فاز غنی از UP ممکن است باعث ایجاد دو ساختار متفاوت شود:

- (الف) وقتی جزء حجمی فاز غنی از LPA بیشتر از مقدار  $\phi_{C2}$  شود، افزایش جزء حجمی فاز غنی از UP به مقدار وارونگی فازی نمی‌رسد. از این رو، فاز غنی از UP به شکل پراکنده باقی می‌ماند.
- (ب) وقتی جزء حجمی فاز غنی از LPA کمتر از  $\phi_{C2}$  و بیشتر از  $\phi_{C1}$  باشد، رشد فاز غنی از UP باعث بوجود آمدن ساختاری هم‌پیوسته می‌شود [۱۹].

پس می‌توان نتیجه گرفت که علت متفاوت بودن شکل شناسی رزین پلی استر سیرن شده ارتو هنگام استفاده از پلی وینیل استات با وزنهای مولکولی متفاوت به مقدار جزء حجمی دو فاز مربوط است. با توجه به سینتیک واکنش، در آمیخته UP/St و آمیخته UP/St/UP حاوی ۸ Phr پلی وینیل استات با وزنهای مولکولی متوسط وزنی  $100 \times 10^3$  و  $290 \times 10^3$  g/mol (شکل ۴)، هنگام استفاده از پلی وینیل استات با وزن مولکولی کمتر استرن بیشتری وارد واکنش شده (به علت نفوذ راحت‌تر استرن)، در نتیجه جزء حجمی فاز غنی از پلی وینیل استات کمتر و در محدوده بین  $\phi_{C2}$  و  $\phi_{C1}$  قرار می‌گیرد. ولی، با افزایش وزن مولکولی جزء حجمی فاز غنی از پلی وینیل استات بیشتر و در نتیجه ساختار ذره‌ای در هم نفوذ کرده زبر ایجاد می‌شود.



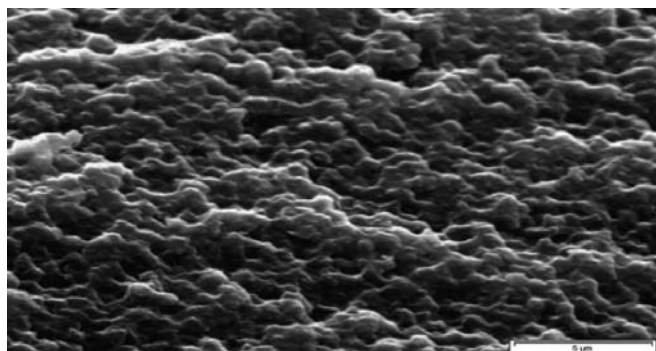
شکل ۵ منحنی مقایسه‌ای تغییر حجم بر حسب زمان آمیخته UP/St و آمیخته UP/St در Phr ۸ پلی وینیل استات با وزنهای مولکولی متوسط وزنی  $100 \times 10^3$  g/mol (B100) و  $290 \times 10^3$  g/mol (UW4) [حاوی ۰/۲ Phr کبالت نفتنتات و ۱ Phr MEKP (پخت در دمای محیط)].

Rahat‌تر استرن هنگام استفاده از پلی وینیل استات با جرم مولکولی کمتر ناشی می‌شود. با این حال مشاهده می‌شود که جمع شدگی رزین پلی استر سیرن شده ارتوفتالیک در پلی وینیل استات با وزن مولکولی بیشتر (UW4) زیادتر است که این پدیده نیز به شکل شناسی بوجود آمده هنگام استفاده از این دو LPA نسبت داده شده است.

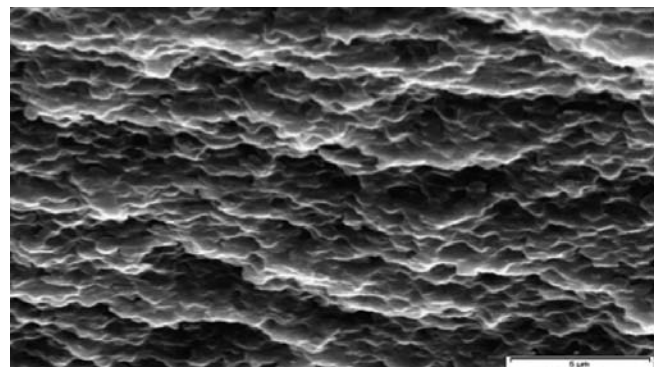
نوع ساختار فازی در تشکیل ریز حفره مؤثر است. نتایج حاصل از ریزنگار SEM نشان می‌دهد که ریزتر کها تهی زمانی تشکیل می‌شوند که فاز غنی از LPA فاز پیوسته باشد، چرا که اگر فاز غنی از UP فاز پیوسته را تشکیل دهد، جمع شدگی فاز غنی از UP باعث انقباض یا فشار روی فاز پراکنده غنی از LPA می‌شود، تمرکز تنش در سطح مشترک دو فاز مانع از ایجاد ریز حفره در فاز غنی از LPA خواهد شد. در حالی که وقتی فاز غنی از UP فاز پراکنده است، جمع شدگی فاز غنی از UP باعث ایجاد نیروی کششی روی فاز غنی از LPA محاط می‌شود و ریزتر کها ایجاد خواهند شد. این موضوع توسط سایر پژوهشگران نیز گزارش شده است [۱۸].

شکل ۷ شکل شناسی نمونه‌های UP پخت شده در ۸ Phr پلی وینیل استات با وزنهای مولکولی مختلف نشان می‌دهد. با توجه به شکل ۷ (الف)، بررسی شکل شناسی نمونه UP پخت شده در ۸ Phr پلی وینیل استات با وزن مولکولی متوسط وزنی برابر  $100 \times 10^3$  g/mol نشان می‌دهد فاز غنی از LPA ساختار هم‌پیوسته شاخه‌ای دارد. در نتیجه با تشکیل ریز حفره‌ها در فصل مشترک دو فاز کنترل جمع شدگی بهتری حاصل می‌شود. در حالی که در پلی وینیل استات با وزن مولکولی متوسط وزنی معادل  $290 \times 10^3$  g/mol (شکل ۷ ب) ذرات در هم نفوذ می‌کنند و ریز حفره کمتری تشکیل می‌شود.

در آمیخته LPA/St/UP ساختار دوفازی طبق ساز و کار تجزیه



(ب)



(الف)

شکل ۷ ریز نگارهای SEM آمیخته UP/St در Phr ۸ پلی وینیل استاتات با وزنهای مولکولی متوسط وزنی مختلف: (الف)  $10^3 \text{ g/mol} \times 100$  و (ب)  $10^3 \text{ g/mol} \times 290$  [پخت در دمای محیط، حاوی Phr ۰/۲ کبالت نفتات و Phr ۱ MEKP]

می‌ماند، جزء حجمی فاز غنی از پلی وینیل استات بیشتر و در نتیجه ساختار ذره‌ای در هم نفوذ کرده زبر بوجود خواهد آمد.

- ۳ - در وزن مولکولی متوسط وزنی PVAc برابر  $10^3 \text{ g/mol} \times 100$  ساختار ساخه‌ای هم پیوسته‌ای تشکیل شده و کنترل جمع شدگی با پلی وینیل استات بهمود می‌یابد. علت تنش حاصل از جمع شدگی، مربوط به فاز غنی از پلی استر سیر نشده است که باعث نیروی کششی روی فاز غنی از LPA محاط می‌شود و ریزتر کهای ایجاد خواهند شد.
- ۴ - در وزن مولکولی متوسط وزنی PVAc معادل  $10^3 \text{ g/mol} \times 290$  ساختار ذره‌ای در هم نفوذ کرده تشکیل شده، موجب کاهش تعداد حفره‌ها و در نتیجه کنترل جمع شدگی ضعیفتر می‌شود.

## نتیجه گیری

- ۱ - با افزایش جرم مولکولی پلی وینیل استاتات زمان شروع جمع شدگی و فرایند پخت رزین پلی استر سیر نشده ارتو افزایش می‌یابد، چرا که نفوذ استیرن از فاز غنی از PVAc سخت تر و کندر انجام می‌شود.
- ۲ - با کاهش وزن مولکولی پلی وینیل استاتات به علت افزایش نفوذ استیرن مقدار استیرن بیشتری وارد واکنش پخت می‌شود، در نتیجه جزء حجمی فاز غنی از PVAc کمتر شده و در محدوده بین  $\phi_{C2}$  و  $\phi_{C1}$  (محدوده تشکیل ساختار هم پیوسته) قرار می‌گیرد. ولی، با افزایش وزن مولکولی PVAc با کاهش نفوذ استیرن و در نتیجه کاهش سرعت واکنش پخت، استیرن بیشتری در فاز غنی از پلی وینیل استات باقی

## مراجع

1. Ma C.M., Hsieh C.T., Kuan H.C., Tsai T.Y. and Wen S., Effects of Molecular Weight and Molecular Structure of Low Profile Additives on the Properties of Bulk Molding Compound (BMC), *Polym. Eng. Sci.*, **43**, 989-998, 2003.
2. Liu C.J., Mjhof H.J., Blokland H. and Marissen R., The Effect of the Addition of a Low Profile Additive on the Curing Shrinkage of an Unsaturated Polyester Resin, *Polym. Eng. Sci.*, **39**, 12-18, 1999.
3. Cao X. and Lee L.J., Effect of Co-promoter and Secondary Monomer on Shrinkage Control of Unsaturated Polyester (UP)/Styrene (St)/Low Profile Additive (LPA) Systems Cured at Low Temperatures, *J. Appl. Polym. Sci.*, **82**, 738-749, 2001.
4. Huang Y.J., Chu C.J. and Dong J.P., Effects of Chemical Structure of Polyurethane-based Low Profile Additives on the Miscibility, Curing Behavior, Volume Shrinkage, Glass Transition Temperatures, and Mechanical Properties for Styrene/Unsaturated Polyester/Low Profile Additive Ternary Systems. I: Miscibility, Curing Behavior and Volume Shrinkage, *J. Appl. Polym. Sci.*, **78**, 543-557, 2000.
5. Camino G., Polishchuk A.Y.A. and Luda M.P., Comparison of the Roles of Two Shrinkage-controlled Low Profile Additives in Water Aging of Polyester Resin-Glass Fiber Composites, *Polym. Compos.*, **21**, 821-831, 2000.

6. Mary B.C. and McGarry F.J., Tough Low Profile Additives in Sheet Molding Compound, *Polym. Compos.*, **17**, 537-547, 1996.
7. Hsieh Y.N. and Yut L., Phase Separation of Unsaturated Polyester Resin Blended with Poly(vinyl acetate), *J. Appl. Polym. Sci.*, **73**, 2413-2428, 1999.
8. Boyard N., Vayer M., Sinturel C.H. and Erre R., Phase-separation Mechanism and Corresponding Final Morphologies of Thermoset Blends Based on Unsaturated Polyester and Low Molecular Weight Saturated Polyester, *J. Appl. Polym. Sci.*, **95**, 1459-1472, 2005.
9. Dong J.P., Huang J.G., Lee F.H., Roan J.W. and Huang Y.J., Effects of Poly(methyl methacrylate) Based Low Profile Additives on the Properties of Cured Unsaturated Polyester Resins. II. Volume Shrinkage Characteristics and Internal Pigment Ability, *J. Appl. Polym. Sci.*, **91**, 3388-3397, 2004.
10. Li W. and Lee L.J., Shrinkage Control of Low Profile Unsaturated Polyester Cured at Low Temperature, *Polymer*, **39**, 5677-5687, 1998.
11. Watts D.C. and Cash A.J., Kinetic Measurements of Photopolymerization Contraction in Resins and Composites, *Measur. Sci. Technol.*, **2**, 788-794, 1991.
12. Rojas A.J., Borrajo J. and Williams R.J.J., The Curing of Unsaturated Polyester Resins in Adiabatic Reactors and Heated Molds, *Polym. Eng. Sci.*, **21**, 1122-1127, 1981.
13. Krause A., Lange A. and Ezrin M., *Plastics Analysis Guide: Chemical and Instrumental Methods*, Hunser, New York, 109-114, 1983.
14. Haslam J., Willis H.A. and Squirrel D.C.M., *Identification and Analysis of Plastics*, 2nd ed, Iliffe Books, Bristol, 215-288, 1981.
15. Bucknall C.B., Davies P. and Partridg I.K., Phase Separation in Styrenated Polyester Resin Containing a Polyvinyl Acetate Low Profile Additive, *Polymer*, **26**, 109-112, 1985.
16. Li W. and Lee L.J., Low Temperature Cure of Unsaturated Polyester Resins with Thermoplastic Additives. I. Dilatometry and Morphology Study, *Polymer*, **41**, 685-696, 2000.
17. Li W., Lee L.J. and Hsu K.H., Low Temperature Cure of Unsaturated Polyester Resins with Thermoplastic Additives. III. Modification of Polyvinyl Acetate for Better Shrinkage Control, *Polymer*, **41**, 711-717, 2000.
18. Xu L., *Integrated Analysis of Liquid Composite Molding (LCM) Processes*, PhD Thesis, Ohio State University, USA, 2004.
19. Li W. and Lee L.J., Low Temperature Cure of Unsaturated Polyester Resins with Thermoplastic Additives. II. Structure Formation and Shrinkage Control Mechanism, *Polymer*, **41**, 697-710, 2000.

Archiv